

Starkniederschlagshöhen und -spenden gemäß KOSTRA-DWD-2020

Rasterfeld 138201

(Zeile 138, Spalte 201)

Regenspende und Bemessungsniederschlagswerte in Abhängigkeit von Wiederkehrzeit T und Dauerstufe D

| Dauerstufe D | | Wiederkehrzeit T | | | | | | | | | | | | | | | | | |
|--------------|-----|------------------|------------|------|------------|------|------------|------|------------|-------|------------|-------|------------|-------|------------|-------|------------|-------|------------|
| | | 1 a | | 2 a | | 3 a | | 5 a | | 10 a | | 20 a | | 30 a | | 50 a | | 100 a | |
| min | Std | mm | l / (s ha) | mm | l / (s ha) | mm | l / (s ha) | mm | l / (s ha) | mm | l / (s ha) | mm | l / (s ha) | mm | l / (s ha) | mm | l / (s ha) | mm | l / (s ha) |
| 5 | | 6,2 | 206,7 | 7,9 | 263,3 | 9,0 | 300,0 | 10,5 | 350,0 | 12,5 | 416,7 | 14,7 | 490,0 | 16,1 | 536,7 | 17,9 | 596,7 | 20,5 | 683,3 |
| 10 | | 8,5 | 141,7 | 11,0 | 183,3 | 12,5 | 208,3 | 14,5 | 241,7 | 17,4 | 290,0 | 20,4 | 340,0 | 22,3 | 371,7 | 24,9 | 415,0 | 28,5 | 475,0 |
| 15 | | 10,0 | 111,1 | 12,9 | 143,3 | 14,7 | 163,3 | 17,1 | 190,0 | 20,4 | 226,7 | 23,9 | 265,6 | 26,2 | 291,1 | 29,2 | 324,4 | 33,5 | 372,2 |
| 20 | | 11,1 | 92,5 | 14,3 | 119,2 | 16,3 | 135,8 | 18,9 | 157,5 | 22,7 | 189,2 | 26,5 | 220,8 | 29,1 | 242,5 | 32,4 | 270,0 | 37,1 | 309,2 |
| 30 | | 12,7 | 70,6 | 16,4 | 91,1 | 18,6 | 103,3 | 21,6 | 120,0 | 25,9 | 143,9 | 30,3 | 168,3 | 33,2 | 184,4 | 37,0 | 205,6 | 42,4 | 235,6 |
| 45 | | 14,4 | 53,3 | 18,5 | 68,5 | 21,1 | 78,1 | 24,4 | 90,4 | 29,3 | 108,5 | 34,3 | 127,0 | 37,6 | 139,3 | 41,8 | 154,8 | 48,0 | 177,8 |
| 60 | 1 | 15,6 | 43,3 | 20,1 | 55,8 | 22,9 | 63,6 | 26,5 | 73,6 | 31,8 | 88,3 | 37,2 | 103,3 | 40,8 | 113,3 | 45,4 | 126,1 | 52,1 | 144,7 |
| 90 | 1,5 | 17,5 | 32,4 | 22,5 | 41,7 | 25,6 | 47,4 | 29,7 | 55,0 | 35,6 | 65,9 | 41,6 | 77,0 | 45,6 | 84,4 | 50,8 | 94,1 | 58,3 | 108,0 |
| 120 | 2 | 18,9 | 26,3 | 24,3 | 33,8 | 27,6 | 38,3 | 32,1 | 44,6 | 38,4 | 53,3 | 45,0 | 62,5 | 49,2 | 68,3 | 54,9 | 76,3 | 62,9 | 87,4 |
| 180 | 3 | 21,0 | 19,4 | 27,0 | 25,0 | 30,7 | 28,4 | 35,6 | 33,0 | 42,7 | 39,5 | 50,0 | 46,3 | 54,7 | 50,6 | 61,0 | 56,5 | 69,9 | 64,7 |
| 240 | 4 | 22,6 | 15,7 | 29,1 | 20,2 | 33,1 | 23,0 | 38,4 | 26,7 | 46,0 | 31,9 | 53,8 | 37,4 | 58,9 | 40,9 | 65,6 | 45,6 | 75,3 | 52,3 |
| 360 | 6 | 25,0 | 11,6 | 32,2 | 14,9 | 36,7 | 17,0 | 42,5 | 19,7 | 50,9 | 23,6 | 59,6 | 27,6 | 65,3 | 30,2 | 72,7 | 33,7 | 83,4 | 38,6 |
| 540 | 9 | 27,7 | 8,5 | 35,6 | 11,0 | 40,6 | 12,5 | 47,0 | 14,5 | 56,4 | 17,4 | 66,0 | 20,4 | 72,3 | 22,3 | 80,5 | 24,8 | 92,3 | 28,5 |
| 720 | 12 | 29,7 | 6,9 | 38,3 | 8,9 | 43,6 | 10,1 | 50,5 | 11,7 | 60,5 | 14,0 | 70,9 | 16,4 | 77,6 | 18,0 | 86,5 | 20,0 | 99,2 | 23,0 |
| 1080 | 18 | 32,9 | 5,1 | 42,3 | 6,5 | 48,2 | 7,4 | 55,9 | 8,6 | 66,9 | 10,3 | 78,4 | 12,1 | 85,8 | 13,2 | 95,6 | 14,8 | 109,7 | 16,9 |
| 1440 | 24 | 35,3 | 4,1 | 45,5 | 5,3 | 51,7 | 6,0 | 60,0 | 6,9 | 71,9 | 8,3 | 84,1 | 9,7 | 92,2 | 10,7 | 102,7 | 11,9 | 117,8 | 13,6 |
| 2880 | 48 | 41,9 | 2,4 | 53,9 | 3,1 | 61,4 | 3,6 | 71,2 | 4,1 | 85,3 | 4,9 | 99,8 | 5,8 | 109,3 | 6,3 | 121,8 | 7,0 | 139,7 | 8,1 |
| 4320 | 72 | 46,3 | 1,8 | 59,6 | 2,3 | 67,8 | 2,6 | 78,6 | 3,0 | 94,2 | 3,6 | 110,3 | 4,3 | 120,8 | 4,7 | 134,6 | 5,2 | 154,4 | 6,0 |
| 5760 | 96 | 49,7 | 1,4 | 63,9 | 1,8 | 72,8 | 2,1 | 84,4 | 2,4 | 101,1 | 2,9 | 118,4 | 3,4 | 129,7 | 3,8 | 144,5 | 4,2 | 165,7 | 4,8 |
| 7200 | 120 | 52,5 | 1,2 | 67,5 | 1,6 | 76,9 | 1,8 | 89,1 | 2,1 | 106,8 | 2,5 | 125,0 | 2,9 | 137,0 | 3,2 | 152,6 | 3,5 | 175,0 | 4,1 |
| 8640 | 144 | 54,9 | 1,1 | 70,6 | 1,4 | 80,4 | 1,6 | 93,2 | 1,8 | 111,7 | 2,2 | 130,8 | 2,5 | 143,2 | 2,8 | 159,6 | 3,1 | 183,0 | 3,5 |
| 10080 | 168 | 57,0 | 0,9 | 73,4 | 1,2 | 83,5 | 1,4 | 96,8 | 1,6 | 116,0 | 1,9 | 135,8 | 2,2 | 148,8 | 2,5 | 165,7 | 2,7 | 190,1 | 3,1 |

Starkniederschlagshöhen und -spenden gemäß KOSTRA-DWD-2020

Rasterfeld 138201

(Zeile 138, Spalte 201)

Örtliche Unsicherheiten in Abhängigkeit von Wiederkehrzeit T und Dauerstufe D

| Dauerstufe D | | Wiederkehrzeit T | | | | | | | | |
|--------------|-----|------------------|-----|-----|-----|------|------|------|------|-------|
| | | 1 a | 2 a | 3 a | 5 a | 10 a | 20 a | 30 a | 50 a | 100 a |
| min | Std | ± % | ± % | ± % | ± % | ± % | ± % | ± % | ± % | ± % |
| 5 | | 12 | 12 | 12 | 12 | 13 | 13 | 14 | 14 | 14 |
| 10 | | 13 | 14 | 15 | 16 | 17 | 18 | 19 | 19 | 20 |
| 15 | | 15 | 17 | 18 | 19 | 20 | 21 | 21 | 22 | 22 |
| 20 | | 16 | 18 | 19 | 20 | 21 | 22 | 23 | 23 | 24 |
| 30 | | 17 | 20 | 21 | 22 | 23 | 24 | 25 | 25 | 26 |
| 45 | | 18 | 20 | 21 | 23 | 24 | 25 | 25 | 26 | 27 |
| 60 | 1 | 18 | 21 | 22 | 23 | 24 | 25 | 26 | 26 | 27 |
| 90 | 1,5 | 18 | 20 | 21 | 23 | 24 | 25 | 25 | 26 | 27 |
| 120 | 2 | 17 | 20 | 21 | 22 | 23 | 24 | 25 | 26 | 26 |
| 180 | 3 | 16 | 19 | 20 | 21 | 23 | 24 | 24 | 25 | 25 |
| 240 | 4 | 16 | 18 | 19 | 21 | 22 | 23 | 23 | 24 | 25 |
| 360 | 6 | 15 | 17 | 18 | 20 | 21 | 22 | 22 | 23 | 24 |
| 540 | 9 | 15 | 17 | 18 | 19 | 20 | 21 | 21 | 22 | 23 |
| 720 | 12 | 14 | 16 | 17 | 18 | 19 | 20 | 21 | 21 | 22 |
| 1080 | 18 | 14 | 15 | 16 | 17 | 19 | 19 | 20 | 20 | 21 |
| 1440 | 24 | 14 | 15 | 16 | 17 | 18 | 19 | 19 | 20 | 20 |
| 2880 | 48 | 14 | 15 | 16 | 16 | 17 | 18 | 18 | 19 | 19 |
| 4320 | 72 | 15 | 15 | 16 | 16 | 17 | 18 | 18 | 19 | 19 |
| 5760 | 96 | 16 | 16 | 16 | 17 | 17 | 18 | 18 | 19 | 19 |
| 7200 | 120 | 16 | 16 | 17 | 17 | 18 | 18 | 18 | 19 | 19 |
| 8640 | 144 | 17 | 17 | 17 | 17 | 18 | 18 | 19 | 19 | 19 |
| 10080 | 168 | 17 | 17 | 17 | 18 | 18 | 18 | 19 | 19 | 19 |

Parameter für abweichende T und D

Lokationsparameter ξ (Xi)

16,23450246

Skalenparameter α (Alpha)

6,48278131

Formparameter κ (Kappa)

-0,1

1. Koutsoyiannis-Parameter θ (Theta)

0,05091174

2. Koutsoyiannis-Parameter η (Eta)

0,75473174

Parameter für dauerstufenübergreifende Extremwertschätzung nach KOUTSOYIANNIS et al. 1998.

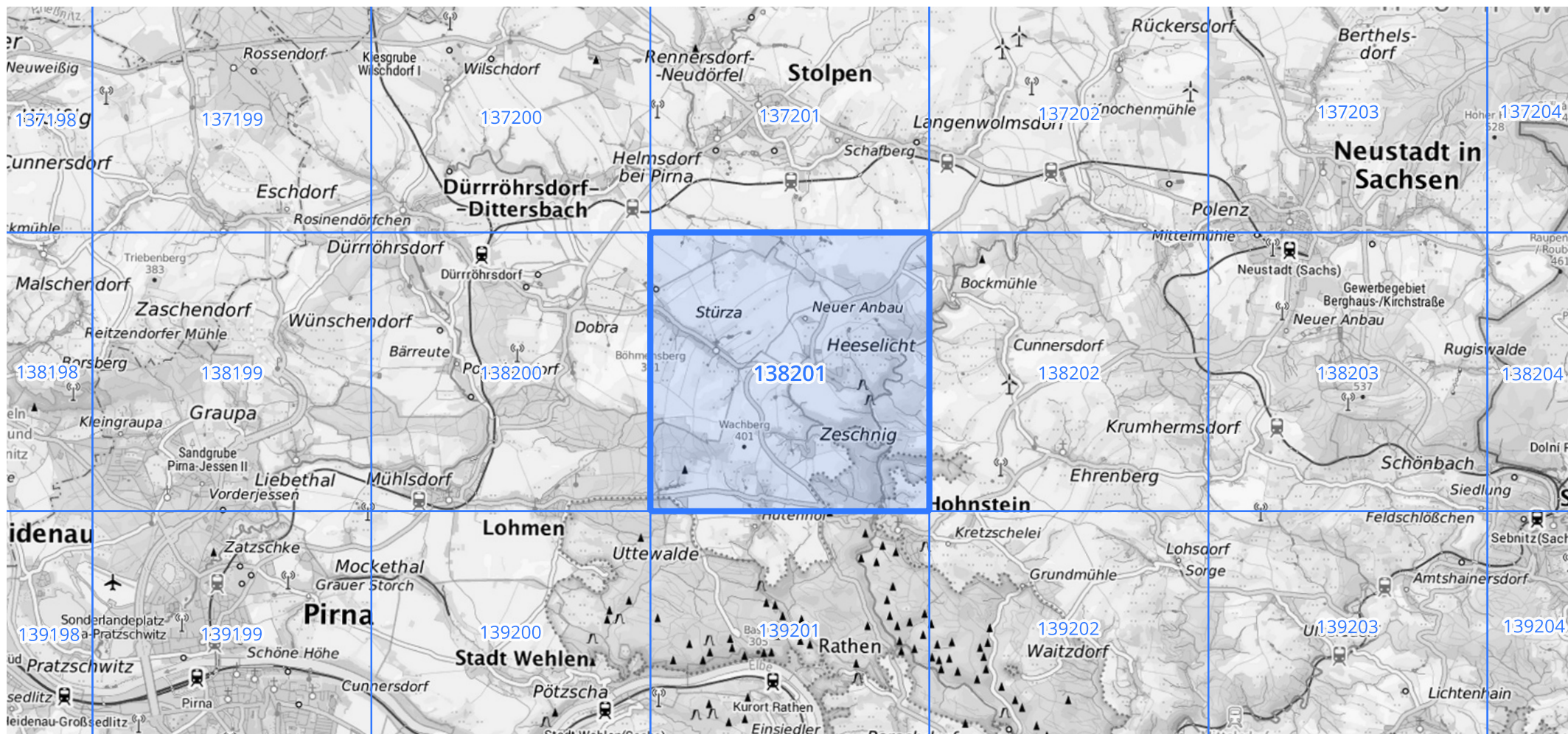
Siehe auch Anwendungshilfe zu KOSTRA-DWD-2020 des Deutschen Wetterdienstes.

Starkniederschlagshöhen und -spenden gemäß KOSTRA-DWD-2020

Rasterfeld 138201

(Zeile 138, Spalte 201)

Übersichtskarte des Rasterfeldes 138201, M 1 : 100 000



Quelle Rasterdaten: KOSTRA-DWD-2020 des Deutschen Wetterdienstes, Stand 12/2022.

Seite 3 von 3

Kartendarstellung: © Bundesamt für Kartographie und Geodäsie (2023), Datenquellen: https://sgx.geodatenzentrum.de/web_public/gdz/datenquellen/Datenquellen_TopPlusOpen.html

Für die Richtigkeit und Aktualität der Angaben wird keine Gewähr übernommen. Erstellt 01/2023.